

(48) コンクリートステイプ・サイロ壁体構造に関する剛体一ロッド系の一解析

北海道大学工学部 正会員 佐々木 康彦
北海道大学工学部 正会員 芳村 仁

1. まえがき

コンクリートステイプ・サイロ壁体構造は、図1のように組合せたかく円筒状の横上部にステイプ（コンクリートブロック）および外壁を斜めにしたロッド（鉄筋）から構成されている。ステイプ相互は上下・面側面の凹凸部、一種のさねはさみ結合となる。しかし、モルタルなどの接着材は使用されていない。この不連続な壁体構造は、ステイプ組合の挙動に起因すると考えらるる履歴復元力特性および非線形応答特性を示すほか、ステイプには正かねが生じないことが、ステイプ・サイロ壁体構造試験から得られている。

本報告はステイプ・サイロ壁体構造のステイプ組合せ部から着目した、二次剛体一ロッド系のひとつ、解析モデルについて述べるものである。ここでは、隣接剛体間に接合要素を用いない底式化を試みた。

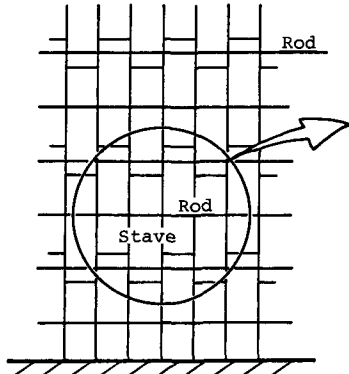


図1 ステイプ・サイロ壁体構造

2. 剛体一ロッド系の解析モデル

ここで提示する「剛体一ロッド系解析モデル」の概略を以下に述べる。垂直平面内、二次元運動を取扱う。剛体を組合しているロッドは、その両端の結合点における水平方向相対変位に対応する伸縮剛性を持つ。剛体一ロッド系の変形後も、上下に隣接する剛体は左右いずいかの頂点で接触する。左右に隣接する剛体の場合が高さが異なるものと、上下いずいかの頂点と刃とで接触する。この接触点は剛体の回転角の大小関係で変わる。

隣接剛体の接触点において、境界線を直方向の相対変位を零とする「変位拘束条件式」を導入する。以下2、剛体組合が重複することはない。また、境界線直方向の相対変位（ズレ）には、摩擦力等の抵抗を考えられる。ここでは簡単のため、「接触点が直線方向の相対変位に比例する抵抗力（ズレ抵抗力）」を導入する。

2.1 隣接剛体間の運動学的関係式 一般に、変形前に接触していた隣接剛体の頂点は、変形後の相対変位を生じる。本節では、その相対変位量と各剛体の変位・回転量との関係式を示す。この関係式は接触点にかけた変位拘束条件式およびズレ抵抗力の導算に用いらる。

上下に隣接した剛体に関して、変形前後運動学的関係を図2に示す。剛体①、②の幅は $2b$ 、高さはともに $2h_i$ 、 $2h_j$ である。また、剛体重い位置での水平方向（X軸方向）、鉛直方向（Y軸方向）変位および回転角を u_i 、 u_j 、 θ_i 、 θ_j とする。頂点の変形後の相対変位 w_{ij} は、因図の1/4回転関係から、剛体の回転が微小な場合 ($\theta_i, \theta_j \ll 1$)、

$$\delta_{ij} = [(c_j - u_i) + (u_i \theta_i + u_j \theta_j)] e_1 + [(v_j - v_i) - \text{sgn}(v_j) b(\theta_j - \theta_i)] e_2 \quad (1)$$

となる。ここで、 e_1, e_2 はX、Y軸方向の単位ベクトル。また、 $\theta_i = \theta_j$ の時、 $\text{sgn}(v_j) = +1$ ； $\theta_i < \theta_j$ の時、 $\text{sgn}(v_j) = -1$ 。この符号の変化は、境界線上の左右の頂点の切換にに対応する。もし、剛体①が剛床にあり、剛床の回転を考慮しない場合は、

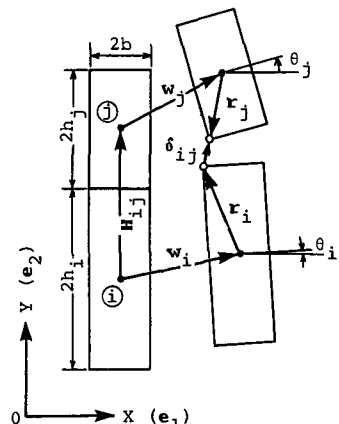


図2 上下剛体間の運動学的関係

$$\delta_{ij} = [\{ U_j - U_0(t) \} + f_j \theta_j] e_1 + [\{ U_j - U_0(t) \} - \text{sgn}(\theta_j) b \theta_j] e_2 \quad (2)$$

ここで、 $U_0(t)$, $U_i(t)$ は剛体の水平方向、鉛直方向変位を表す。

図3は左右に隣接した剛体の変形前後の運動学的関係を示す。この場合は剛体①, ②の高さ $2h_i$, $2h_k$ が初期値である。変形前の頂点と並の高さは $2h_i$ である。それらを考慮すると、剛体②回転角微小な場合($\theta_i, \theta_k \ll 1$)、相対変位 δ_{ik} が次式を得られる。

$$\delta_{ik} = [(U_k - U_i) - \text{sgn}(\alpha_{ik})(\Phi \theta_k - \Phi \theta_i)] e_1 + [(U_k - U_i) - b(\theta_i + \theta_k) + \{ d + \text{sgn}(\alpha_{ik}) (\Phi - \Psi) \}] e_2 \quad (3)$$

ここで、 Φ, Ψ は、 $\tilde{\theta} = \theta_i + \text{sgn}(\alpha_{ik})d$ となる、 $\tilde{\theta} \geq \theta_i$ の時、 $\Phi = \tilde{\theta}$; $\tilde{\theta} < \theta_i$ の時、 $\Phi = \tilde{\theta} - \text{sgn}(\alpha_{ik})d$, $\Psi = \tilde{\theta} + \theta_i$ である。

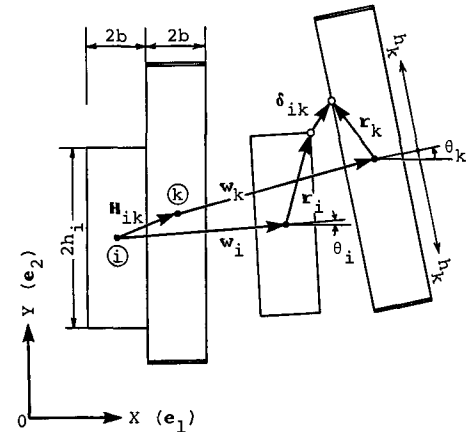


図3 左右剛体間の運動学的関係

2.2 変位拘束条件式および「移乗法」含む Lagrange 式

運動方程式 左右隣接剛体が変形後も必ず接触し、(4)式の剛体間が重複しないためには、(3)式の水平成分が零となるわけなければならない。すなはち、

$$(U_k - U_i) - \text{sgn}(\alpha_{ik})(\Phi \theta_k - \Phi \theta_i) = 0 \quad (4.a)$$

また、剛体一口^{レバ}系全体の水平運動を拘束すれば、剛体上にある11個の剛体と剛床との水平方向相対変位は零となる。すなはち、(2)式の水平成分を零とおくと、

$$\{U_j - U_0(t)\} + f_j \theta_j = 0 \quad (4.b)$$

同様に、上下隣接剛体が変形後も接触し、又に剛体相互が重複しない場合には、(1)式の鉛直成分を零とおく、

$$(U_j - U_0) - \text{sgn}(\theta_j) b(\theta_j - \theta_i) = 0 \quad (5.a)$$

また、剛床上の全剛体に關する、(2)式の鉛直成分を零とおくと、

$$\{U_j - U_0(t)\} - \text{sgn}(\theta_j) b \theta_j = 0 \quad (5.b)$$

以上の各式を表す剛体間および剛体、剛床間に適用する。その後、得られた式から水平変位 U_i 、鉛直変位 U_0 と回転角 θ_i を求める方法と(2)、高温ガス炉内壁の挙動⁽¹⁾における速度拘束条件式⁽²⁾を参照する。⁽²⁾剛体一口^{レバ}の変位拘束条件式は次の通り得られる。

$$U_i + \sum A_{ik} \theta_k - U_0(t) = 0 \quad (i=1, 2, \dots, N) \quad (6)$$

$$U_i + \sum B_{ik} \theta_k - U_0(t) = 0 \quad (i=1, 2, \dots, N) \quad (7)$$

ここで、 N は全剛体数である。以後の記述のため、剛体重心の水平変位 $\{U_i\}$ 、鉛直変位 $\{U_0\}$ 、回転角ベクトル $\{\theta_i\}$ を用い、これらを剛体条件式をオブリク表示する。

$$\{U_i\} + [A]\{\theta_i\} - U_0(t)\{1\} = \{0\} \quad (8)$$

$$\{U_i\} + [B]\{\theta_i\} - U_0(t)\{1\} = \{0\} \quad (9)$$

ここで、 $\{1\}, \{0\}$ はそれぞれ単位ベクトル、零ベクトルを表す。1

一般に、C個の座標 $\{z_i\}$ が逆運動学式に自由度系に $m = (C-N)$ 個の拘束条件式

$$f_k(z_1, z_2, \dots, z_m) = 0 \quad (k=1, 2, \dots, m) \quad (10)$$

がある場合、この系の運動方程式は式(3)と表される⁽³⁾。

$$\frac{d}{dt} \left(\frac{\partial T}{\partial z_i} \right) - \frac{\partial T}{\partial z_i} + \frac{\partial V}{\partial z_i} = Q_i + \sum_{k=1}^m \lambda_k \frac{\partial f_k}{\partial z_i} \quad (i=1, 2, \dots, C) \quad (11)$$

ここで、 T および V は逆運動エネルギー、 Q_i は外力⁽⁴⁾、 λ_k はLagrangeの乘数⁽⁵⁾、 \dot{z}_i は時間微分を表す。剛体一口^{レバ}系では、変位拘束条件式(6), (7)式と(10)式に相当する。(7)式と(11)式に(6), (7)式を代入し、各変位・回転角にマトリックス表示すると、

$$\frac{d}{dt} \left(\frac{\partial T}{\partial \{\theta_i\}} \right) - \frac{\partial T}{\partial \{\theta_i\}} + \frac{\partial V}{\partial \{\theta_i\}} = \{ \lambda^u \} \quad (12.a)$$

$$\frac{d}{dt} \left(\frac{\partial T}{\partial \{U_i\}} \right) - \frac{\partial T}{\partial \{U_i\}} + \frac{\partial V}{\partial \{U_i\}} = \{ \lambda^v \} \quad (12.b)$$

$$\begin{aligned} \frac{d}{dt} \left(\frac{\partial T}{\partial \{\theta_i\}} \right) - \frac{\partial T}{\partial \{\theta_i\}} + \frac{\partial V}{\partial \{\theta_i\}} \\ = [A]^T \{ \lambda^u \} + [B]^T \{ \lambda^v \} \end{aligned} \quad (12.c)$$

となる(但し、 $\{Q_i\} = \{0\}$)。ここで、 $\{ \lambda^u \}, \{ \lambda^v \}$ は逆運動エネルギー、変位拘束条件式(8), (9)に対する未定乗数⁽⁶⁾である。また、上式の T は拘束条件マトリックス⁽⁷⁾、 $[A], [B]$ は置換マトリックス⁽⁸⁾を表す。

2.3 剛体一口^{レバ}の運動方程式 剛体が水平方向に一口^{レバ}で結合され、隣接剛体が変形後もいつまでも頂点と接触するか重複しないように、前節で導いた変位拘束条件式を満足する剛体一口^{レバ}運動方程式を導導する。すなはち、この系の運動方程式は式(3)と表される。

$$T = \frac{1}{2} (\{U\}^T [M] \{U\} + \{U\}^T [m] \{U\} + \{U\}^T [I] \{\theta\}) \quad (13)$$

ここで、 $[M]$, $[I]$ は各剛体質量、慣性モーメントを剛体がする軸角マトリックスである。

剛体と適合するロッドは、面積が剛体の重さに等しい直線上に固定され、その両端点の水平方向相対変位に拘束される剛性(剛性係数 K_R)を持つとすると、ロッド歪形は、

$$[T_R] = \frac{1}{2} K_R \sum (d_i - d_j)^2 = [T_R] (\{U\}, \{\theta\}) \quad (14)$$

ここで、 d_i, d_j はロッド両端点間距離であり3次元直線。したがって、 $\partial T_R / \partial U_i = [T_R^{xu}] \{U\} + [T_R^{xg}] \{\theta\}$, $\partial T_R / \partial \theta_j = \{0\}$, $\partial T_R / \partial \theta_i = [M_R^{zu}] \{U\} + [M_R^{zg}] \{\theta\}$ 以上(15)

ここで、 $[T_R^{xu}]$ 等はロッドに作用する部分剛性マトリックスを表す。

隣接剛体の接触点と、境界線接触点の相対変位は剛体抵抗力(比例係数 K_s)と仮定する。上下剛体間に初期変位は(13)の水平成分、左右剛体間に初期は(3)法線成分から、計算される。

$$\begin{aligned} S_{ij}^x &= [(U_j - U_i) + (f_i \theta_i + f_j \theta_j)] \\ S_{ik}^r &= [(U_k - U_i) - b(\theta_i + \theta_j)] + \{d_i + \text{sgn}(d_{ik}) (\Phi_i - \Phi_j)\} \end{aligned} \quad (16)$$

したがって、ズレ抵抗力の式が導かれる。

$$\begin{aligned} T_s &= \frac{1}{2} K_s [\sum (S_{ij}^x)^2 + \sum (S_{ik}^r)^2] \\ &= [T_s] (\{U\}, \{\theta\}, \{\theta\}) \end{aligned} \quad (17)$$

と表される。この式から $\partial T_s / \partial \{U\} = [T_s^{xu}] \{U\} + [T_s^{xg}] \{\theta\}$, $\partial T_s / \partial \{\theta\} = [T_s^{yv}] \{U\} + [T_s^{yg}] \{\theta\}$, $\partial T_s / \partial \{\theta\} = [M_s^{zu}] \{U\} + [M_s^{zg}] \{\theta\} + [M_s^{yy}] \{U\}$ 以上(18)

ここで、 $[T_s^{xu}]$ 等は接触点のズレ抵抗力部分剛性マトリックスである。

自重の応力計算式は、

$$W = \{U\}^T \{m\} g \quad (19)$$

である。また、 $\partial W / \partial \{U\} = \{m\} g$, $\partial W / \partial \{\theta\} = \partial W / \partial \{\theta\} = \{0\}$ (20)

となる。ここで、 $\{m\}$ は各剛体質量を合成した質量

ベクトル、 g は重力加速度を表す。以上に述べた剛体

ロッド系の応力計算式が次式で与えられる。

$$V = T_R + T_s + W \quad (21)$$

前章の未定乗数ベクトル $\{\lambda^u\}, \{\lambda^v\}$ を含む Lagrange 方程式(12a)～(12c)を(13), (21)式代入し、(15), (18), (20)式の関係を考慮すると、

$$[m] \{U\} + [T_R^{xu}] \{U\} + [T_R^{xg}] \{\theta\} = \{\lambda^u\} \quad (22.a)$$

$$[m] \{U\} + [T_s^{yv}] \{U\} + [T_s^{yg}] \{\theta\} = \{\lambda^v\} \quad (22.b)$$

$$[I] \{\theta\} + [M_s^{zu}] \{U\} + [M_s^{zg}] \{\theta\} + [M_s^{yy}] \{\theta\} = [A]^T \{\lambda^u\} + [B]^T \{\lambda^v\} \quad (22.c)$$

ここで、 $[F^{xu}] = ([T_R^{xu}] + [T_s^{xu}])$ 等である。また、拘束条件マトリックス $[A], [B]$ は実数マトリックス(隣接剛体の回転角の太小開角が符号が変わるものも含む)であるから、変位拘束条件式(8), (9)を簡略化して微分することにより、次の加速度拘束条件式が得られる。

$$\{\ddot{U}\} + [A] \{\dot{\theta}\} - \ddot{U}_o(t) \{1\} = \{0\} \quad (23)$$

$$\{\ddot{U}\} + [B] \{\dot{\theta}\} - \ddot{U}_o(t) \{1\} = \{0\} \quad (24)$$

最後に、(22a), (22.b)式の $\{\lambda^u\}, \{\lambda^v\}$ を(22.c)式に代入し、式(8), (9)式の式(23), (24)式用いて、変位ベクトル $\{U\}, \{\theta\}$, 加速度ベクトル $\{\ddot{U}\}, \{\ddot{\theta}\}$ を導出し、剛体重心の回転角、剛体剛体ロッド系の運動方程式が次式のように求められる。

$$[\ddot{J}] \{\dot{\theta}\} + [K] \{\theta\} = \{F\} \quad (25)$$

ここで、 $[\ddot{J}] = [J] + [A]^T [M] [A] + [B]^T [M] [B]$, $[K] = [M^{zz}] + [A]^T [T^{xu}] [A] + [B]^T [T^{yv}] [B] - ([A]^T [T^{xg}] + [M^{xy}] [A]) - ([B]^T [T^{yg}] + [M^{yz}] [B])$, $\{F\} = [A]^T \{m\} \ddot{U}_o(t) + [B]^T \{m\} (\ddot{U}_o(t) + g) + ([A]^T [T^{xu}] + [M^{zu}]) \{1\} \ddot{U}_o(t) + ([B]^T [T^{yv}] + [M^{yy}]) \{1\} \ddot{U}_o(t) = [A]^T \{m\} \ddot{U}_o(t) + [B]^T \{m\} (\ddot{U}_o(t) + g)$ 。

3. 参照計算例

前章で構造解析

モデルの数値計算例

(2) 図4に示す剛体ロッド系を考る。剛体上に置かれた4個の剛体が3本のロッドで結合され、これらが剛体の質量、最小限のスライド距離、部分を含むように、万能サドル型構造一部分を抽出したものである。

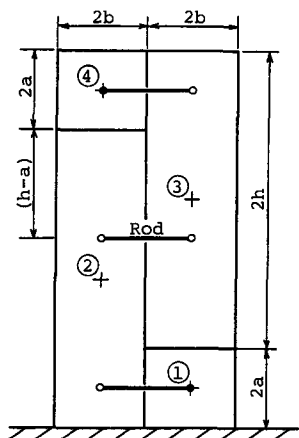


図4 基本的剛体ロッド系

以下の計算では、各剛体

幅 $2b = 8.0 \text{ cm}$, 高さ

$2h = 23.5 \text{ cm}$ ただし $2a = 7.0 \text{ cm}$, 単位体積重量 $W = 24 \times 10^{-3} \text{ kg/cm}^3$, 重力加速度 $g = 980.0 \text{ cm/sec}^2$, ロッドの伸縮剛性係数 $K_R = 100.0 \text{ kN/cm}$, 接触点のズレ抵抗力比例係数 $K_s = 20.0 \text{ kN/cm}$ の値を用いた。

動的応答解析に支え、図4の剛体ロッド系について静的解析を行った。運動方程式(22.a)～(22.c)

から慣性力項を除き、各の右辺に剛体重りの外力項 $\{Q\}_1, \{Q\}_2, \{Q\}_3$ を加えた後、回転角に関する運動方程式の標準過程と同様な式において、静的拘束条件式

$$[K]\{q\} = \{Q\} \quad \dots \quad (26)$$

が得られる。ここで、 $\{Q\} = \{Q\}_1 - [A]^T\{Q\}_2 - [B]^T * (\{Q\}_3 - m_1 q)$ 、また $[K]$ は (25) 式もと同一である。

左上の剛体④の重り位置に水平荷重 10 kgf を加えた場合の静的解析結果を図 5 に示す。この解析モデルによると、隣接剛体あるいは剛床との境界で、接触・分離をうまく表現出来ることが判明から分かる。なお、剛体①へ④が水平受圧する

ときの 0.26, 1.15, 1.88, 2.66 cm であった。参考までに、剛体境界に Goodman の当位要素⁴⁾を配置した解析モデルによる計算結果を図 6 に示す。このモデルでは、剛体頂点および边上に節点をもつて、節点変位と剛体重り位置との変位、回転角とも関連付いたものであるが、節面の関係とその詳細は省略させて頂く。計算では、当位要素のせん断剛度係数と図 5 におけるスレミング比の実験値を一致させた。また、垂直接触剛性係数 $K_N = 200 \text{ kgf/cm}$ を用いた。

最後に、ひづれ運動の応答解析結果を示す。図 7 は、剛床を水平方向に正弦波加振幅 1.0 cm、振動数 10.0 Hz で加振した場合、剛体②へ④の水平変位応答波形(節点変位)である。運動方程式の数値積分は Wilson の I 法を用い、時間刻み $\Delta t = 1/1000 \text{ sec}$ で行なった。また、図 8 は最大応答値を含む 0.4~0.5 sec での、剛体-ロッド系の変形挙動の連続表示である。この解析モデルでは、ロッドの弾性剛性およびスレミング比の実験値とも一致を用いており、図 7 の応答波形における振幅の増加が見られる。

4. おわりに

以上、変位拘束条件式を用いた二次元剛体-ロッド系の解析モデルにおける簡単な数値計算例を示した。今後は、数値解析と模型実験から、この解析モデルの検討・改良を進め、ステップ・サル等の構造の不連続性に起因する動的挙動を明らかにしたい。

参考文献

- 1) 佐々木、芳村、堂隈: コンクリートステップ・サイロの動的挙動に関する模型振動実験、第 6 回日本地震工学シンポジウム講演集、1982.
- 2) Lee, T.H.: Nonlinear Dynamic Analysis of a Stacked Fuel Column Subjected to Boundary Motion, Nuclear Engineering and Design 32, 1975.
- 3) Clough, R.W. and J. Penzien: Dynamics of Structures, McGraw-Hill, 1975.
- 4) Goodman, R.E., R.L. Taylor and T.L. Brekke: A Model for the Mechanics of Jointed Rock, Proc. ASCE, Vol. 94, No. SM 3, 1968.

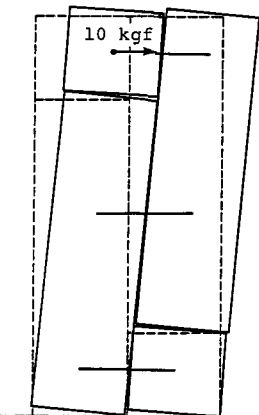


図 5 剛体-ロッド系の静的解析結果
(変位拘束条件式)

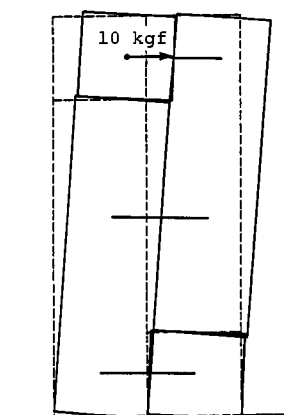


図 6 剛体-ロッド系の静的解析結果
(ジョイント要素)

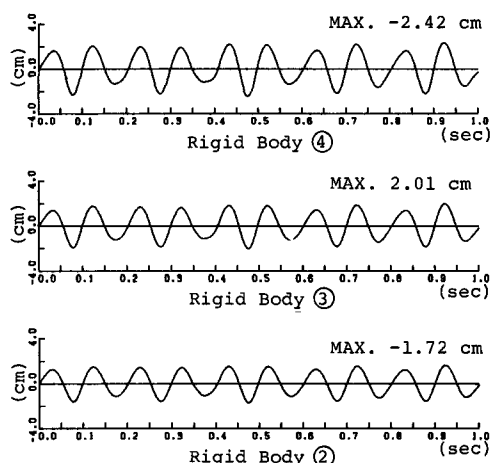


図 7 剛体重心での水平変位応答波形(正弦波加振)

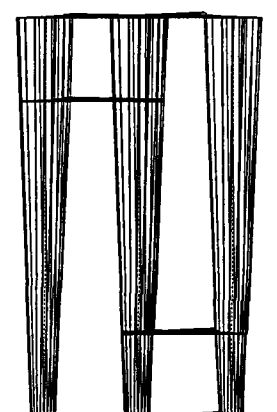


図 8 正弦波応答時の変形状態
[0.4~0.5 sec]